

УДК 538.9.548 : 537.611.46

ФЕРРИМАГНИТНОЕ СПИНОВОЕ СТЕКЛО С ФЛУКТУИРУЮЩЕЙ АНИЗОТРОПИЕЙ

Бах Тхань Конг (Вьетнам), А. В. Ведяев

(кафедра магнетизма)

В рамках двухподрешеточной модели с бесконечным радиусом взаимодействия обсуждается влияние флуктуирующей одноионной анизотропии на температуру перехода из парамагнитного состояния в состояние спинового стекла. Показано, что в рамках предлагаемой теории удастся объяснить имеющиеся экспериментальные данные для некоторых замещенных ферримагнитных спиновых стекол.

1. Введение

В последнее время возрастает число экспериментальных работ, посвященных исследованию ферримагнитного спинового стекла (см. работу [1] и цитируемую там литературу). Такой класс магнитных веществ, как ферримагнитные окислы, привлекает большое внимание ввиду того, что конкуренция меж- и внутриподрешеточного взаимодействий может стимулировать появление состояния спинового стекла (СС). В работе [1] была экспериментально получена концентрационная x — T фазовая диаграмма разбавленной многоподрешеточной системы $\text{BaFe}_{12-x}\text{Ga}_x\text{O}_{19}$, особенностью которой являются высокие значения температуры замерзания в нулевом магнитном поле T_g . При сравнении этих результатов с данными для двухподрешеточной слабоанизотропной системы $\text{Li}_{10}\text{Fe}_{2,5-x}\text{Ga}_x\text{O}_4$ [2] авторы предположили, что увеличение температуры перехода в состояние СС в первой системе связано с наличием в ней значительной магнитной анизотропии. Кроме этого, на x — T фазовой диаграмме хорошо виден рост температуры перехода из парамагнитного (ПМ) состояния в состояние СС в узком интервале концентрации диамагнитных атомов Ga, замещающих магнитоактивные ионы Fe ($8,5 \geq x \geq 7,75$). Очевидно, что наличие локальных флуктуаций одноионной анизотропии (ОА) по величине и направлению будет благоприятствовать случайной ориентации атомных спинов, и температурная зависимость флуктуации ОА (которая зависит от конкретного состава ферритов и способа их приготовления) должна определять температурную устойчивость случайной конфигурации спинов. Поэтому можно предположить, что существование высокотемпературных спиновых стекол (см. [3]) связано с флуктуирующей анизотропией.

Целью настоящей работы является теоретическое исследование влияния флуктуирующей ОА на величину T_g и объяснение ее концентрационной зависимости в области фазового перехода из ПМ-состояния в состояние СС неметаллических ферритов. До сих пор главное внимание исследователей было уделено флуктуации анизотропии типа Дзялошинского—Мория в металлических СС, а ОА во многих работах по теории ферромагнитного или антиферромагнитного СС считалась нефлуктуирующей [4—6].

Для решения поставленной задачи можно, как в [7], использовать модель Изинга СС с бесконечным радиусом взаимодействия (модель Шеррингтона—Киркпатрика). Однако в рамках работы [7] не

представлялось возможным рассмотреть влияние анизотропии из-за использования модели Изинга с двумя фиктивными состояниями спинов подрешеток. Поэтому в простейшем варианте мы будем исходить из обобщенной модели Изинга ферромагнитного СС, где в одной подрешетке спины принимают два значения: $\pm 1/2$, а в другой три: 1, 0, -1 . Одноионная анизотропия изначально предполагается во второй подрешетке. Ясно, что в рамках этой упрощенной модели мы можем лишь исследовать влияние флуктуаций константы ОА второй подрешетки на состояние СС всего феррита. Гамильтониан системы записывается в следующем виде:

$$H = - \sum_{p=1}^2 \sum_{i,j} I_{p,ij} S_{pi} S_{pj} - \sum_{i,j} J_{ij} S_{1i} S_{2j} - \sum_i D_i S_{2i}^2 - \sum_{p=1}^2 \sum_i h_p S_{pi}, \quad (1)$$

где p — индекс подрешеток; $I_{p,ij}$ — константы внутриподрешеточных взаимодействий; J_{ij} — константы межподрешеточного взаимодействия; D_i — энергия локальной одноионной анизотропии во второй подрешетке; $h_p = g_p \mu_B h$; h — внешнее поле, действующее на каждую подрешетку; $S_{1i} = \pm 1/2$, $S_{2i} = \pm 1, 0$ — значения спинов атомов, находящихся в узлах первой и второй подрешеток.

Модель (1) можно считать обобщением модели со спином 1 [8] на случай двух неэквивалентных подрешеток. Нетрудно видеть, что в случае большой положительной ОА: $D \gg |J|$, $|I_p|$, такая система ведет себя как ± 1 -модель Изинга. Если D отрицательна и ее абсолютное значение по-прежнему превосходит энергию всех других обменных взаимодействий, то можно ожидать, что основным состоянием является парамагнитное. Более того, фазовый переход из состояния ПМ в состояние СС может быть фазовым переходом первого рода, как и в случае спина 1 [8, 9].

Пусть N_1, N_2 — число спинов каждого компонента, $N_1 + N_2 = N$ — полное число спинов и обменные интегралы считаются не зависящими от расстояния случайными величинами, распределенными по нормальному закону:

$$P(J_{ij}) = \sqrt{\frac{N_3}{2\pi J^2}} \exp \left\{ - \frac{J_{ij}^2}{2J^2} N_3 \right\}, \quad (2)$$

$$P(I_{p,ij}) = \sqrt{\frac{N_p}{2\pi I_p^2}} \exp \left\{ - \frac{I_{p,ij}^2}{2I_p^2} N_p \right\}, \quad (3)$$

$$N_3 = \sqrt{N_1 N_2},$$

J, I_p представляют собой дисперсии межподрешеточных и внутриподрешеточных взаимодействий. В отличие от моделей, рассматриваемых в предыдущих работах, константа ОА второй подрешетки считается флуктуирующей с вероятностью

$$P(D_i) = \frac{1}{\sqrt{2\pi D^2}} \exp \left\{ - \frac{(D_i - D_0)^2}{2D^2} \right\}, \quad (4)$$

D_0 и D — среднее значение и дисперсия локальной анизотропии D_i . Ниже мы приведем вычисления в рамках приближения теории среднего поля.

2. Уравнение состояния

Как известно, в методе реплик свободная энергия замороженной спиновой системы определяется следующим предельным переходом:

$$f = -T \lim_{N \rightarrow \infty} \frac{Z^n_{\text{aver}} - 1}{N n_1} \Big|_{\substack{n \rightarrow 0 \\ N \rightarrow \infty}} \quad (5)$$

n является числом реплик. Значение n -й степени статистической суммы после конфигурационного усреднения с законом распределения (2) — (4) принимает вид

$$\begin{aligned} Z^n_{\text{aver}} = & T, \exp \left\{ \frac{J^2}{2N_3 T^2} \sum_{i,j} \sum_{\alpha, \beta} S_{1i\alpha} S_{2j\alpha} S_{1i\beta} S_{2j\beta} + \right. \\ & + \frac{1}{2T^2} \sum_p \frac{I_p^2}{N_p} \sum_{i,j} \sum_{\alpha, \beta} S_{p i \alpha} S_{p j \alpha} S_{p i \beta} S_{p j \beta} + \frac{D_0}{T} \sum_{i, \alpha} S_{2j\alpha}^2 + \\ & \left. + \frac{D^2}{2T^2} \sum_{i, \alpha, \beta} S_{2j\alpha}^2 S_{2j\beta}^2 + \frac{1}{T} \sum_{p, i} h_p S_{p i \alpha} \right\}. \quad (6) \end{aligned}$$

Из формулы (6) видно, что среднее значение константы ОА связано с квадрупольным моментом и ее дисперсия привела к появлению члена, описывающего квадрупольное взаимодействие между репликами. Поскольку вычисление ведется в рамках теории среднего поля, запишем предпоследнее слагаемое в (6) в следующем виде:

$$\begin{aligned} \sum_{\alpha j} S_{2j\alpha}^4 & \Rightarrow \sum_{\alpha j} Q_{\alpha} S_{2j\alpha}^2, \\ \sum_{j(\alpha, \beta)} (S_{2j\alpha} S_{2j\beta})^2 & \Rightarrow \sum_{j(\alpha, \beta)} q_{2(\alpha\beta)} S_{2j\alpha} S_{2j\beta}, \end{aligned} \quad (7)$$

где (α, β) означает разные пары индексов α, β . Параметры Q_{α} и $q_{2(\alpha\beta)}$ определяются формулами (13). Смысл расщепления (7) заключается в том, что в пределе одной реплики квадрупольное взаимодействие эквивалентно действию однородного поля Q_{α} , а между репликами — действию поля Эдвардса—Андерсона $q_{2(\alpha\beta)}$. В термодинамическом пределе получаем выражение для свободной энергии системы в расчете на один спин:

$$f = -T \lim_n \frac{1}{n} \Phi_n(q_{p(\alpha\beta)}, Q_{\alpha}) \Big|_{n \rightarrow 0}, \quad (8)$$

где

$$\begin{aligned} \Phi_n(q_{p(\alpha\beta)}, Q_{\alpha}) = & - \frac{1}{2T^2} \sum_{(\alpha, \beta)} \{n_1 I_1^2 q_{1(\alpha\beta)}^2 + n_2 I_2^2 q_{2(\alpha\beta)}^2 + 2n_3 q_{1(\alpha\beta)} q_{2(\alpha\beta)}\} + \\ & + \frac{n_1 I_1^2}{64T^2} - \frac{n_2 I_2^2}{4T^2} \sum_{\alpha} Q_{\alpha}^2 + \sum_{p=1}^2 n_p \ln \text{Tr} \exp \{ \mathcal{L}_p \}, \quad (9) \end{aligned}$$

$$\mathcal{L}_p = \left\{ \sum_{\alpha} \frac{h_p}{T} S_p + \sum_{(\alpha\beta)} b_{p(\alpha\beta)} S_{p\alpha} S_{p\beta} + \sum_{\alpha} C_{\alpha} S_{2\alpha}^2 \delta_{p,2} \right\}. \quad (10)$$

Здесь $n_p = (N_p/N)$ — концентрация p -го компонента, $n_3 = (N_3/N)$,

$$b_{p(\alpha\beta)} = \frac{1}{T^2} \left\{ (I_p^2 + D^2 \delta_{p,2}) q_{p(\alpha\beta)} + J^2 \sqrt{\frac{n_{p'}}{n_p}} q_{p'(\alpha\beta)} \right\} \quad (p' \neq p),$$

$$C_\alpha = \frac{D_0}{T} + \frac{1}{T^2} \left\{ \frac{1}{2} (I_2^2 + D^2) Q_\alpha + \frac{J^2}{8} \sqrt{\frac{n_1}{n_2}} \right\}.$$

Параметр Эдвардса—Андерсона $q_{p(\alpha\beta)}$ и квадрупольный момент Q_α подчиняются уравнениям

$$q_{p(\alpha\beta)} = \langle S_{p\alpha} S_{p\beta} \rangle_p, \quad (11)$$

$$Q_\alpha = \langle S_{2\alpha}^2 \rangle_2, \quad (12)$$

где угловые скобки $\langle \dots \rangle_p$ означают усреднение с эффективным гамильтонианом \mathcal{L}_p (10). Совокупность параметров $q_{p(\alpha\beta)}$, Q_α должна обеспечить максимум функции Φ_n . В реплично-симметричном приближении усреднения, фигурирующие в (11), (12), легко выполняются и тогда мы имеем:

$$q_1 = \left\langle \left[\frac{1}{2} \operatorname{th} \left(\frac{E_1(z)}{2T} \right) \right]^2 \right\rangle_{\text{aver}},$$

$$q_2 = \left\langle \left[\frac{\operatorname{sh} [E_2(z)/T]}{(1/2) \exp \{-C\} + \operatorname{ch} [E_2(z)/T]} \right]^2 \right\rangle_{\text{aver}}, \quad (13)$$

$$Q = \left\langle \frac{\operatorname{ch} [E_2(z)/T]}{(1/2) \exp \{-C\} + \operatorname{ch} [E_2(z)/T]} \right\rangle_{\text{aver}},$$

$$f = -\frac{n_0 J_1^2}{4T} \left(q_1 - \frac{1}{4} \right)^2 - \frac{n_2 J_2^2}{4T} (q_2^2 - Q^2) - \frac{1}{2T} n_3 J^2 q_2 \left(q_1 - \frac{1}{4} \right) -$$

$$- T n_1 \left\langle \ln \left[2 \operatorname{ch} \left[\frac{E_1(z)}{T} \right] \right] \right\rangle_{\text{aver}} -$$

$$- T n_2 \left\langle \ln \left[1 + 2 \exp \{-C\} \cdot \operatorname{ch} \left[\frac{E_2(z)}{T} \right] \right] \right\rangle_{\text{aver}}, \quad (14)$$

$$E_1(z) = h_1 + \left[I_1^2 q_1 + J^2 q_2 \sqrt{\frac{n_2}{n_1}} \right]^{1/2} z,$$

$$E_2(z) = h_2 + \left[(I_2^2 + D^2) q_2 + J^2 q_1 \sqrt{\frac{n_1}{n_2}} \right]^{1/2} z,$$

$$C = \frac{D_0}{T} + \frac{1}{2T^2} (I_2^2 + D^2) (Q - q_2) + \frac{J^2}{2T^2} \left(\frac{1}{4} - q_1 \right) \sqrt{\frac{n_1}{n_2}},$$

$$\langle U \rangle_{\text{aver}} = \int U(z) \exp \left\{ -\frac{z^2}{2} \right\} \frac{dz}{\sqrt{2\pi}}.$$

Уравнения состояния (13)—(14) используются лишь в эргодической фазе, когда устойчиво реплично-симметричное решение Шеррингтона—Киркпатрика.

Проблема устойчивости реплично-симметричного решения для одноподрешеточной модели Изинга со спином 1 впервые рассматривалась в работе [9]. Следуя этой работе, определим условие устойчивос-

ти решения через условие неотрицательности собственных значений матрицы:

$$S_{x,y} = \lim_{n \rightarrow 0} \frac{\partial^2 \Phi_n}{\partial X \partial Y} \Big|_{n=0}, \quad (15)$$

$$(X, Y) \equiv (q_1(\alpha\beta), q_2(\alpha\beta), Q_\alpha),$$

Поступая аналогично [9, 10], получим

$$\left(1 - \frac{I_1^2}{16T^2} \left\langle \text{ch}^{-4} \left(\frac{E_1(z)}{2T} \right) \right\rangle_{\text{aver}} \right) \left(1 - \frac{I_2^2}{T^2} \left\langle \left[1 + \frac{1}{2} \exp\{-C\} \times \right. \right. \right. \\ \left. \left. \times \text{ch} \left(\frac{E_2(z)}{T} \right) \right]^2 / \left[\frac{1}{2} \exp\{-C\} + \text{ch} \left(\frac{E_2(z)}{T} \right) \right]^4 \right\rangle_{\text{aver}} \right) - \\ - \frac{J^4}{16T^4} \left\langle \text{ch}^{-4} \left(\frac{E_1(z)}{2T} \right) \right\rangle_{\text{aver}} \left\langle \frac{[1 + (1/2) \exp\{-C\} \text{ch}[E_2(z)/T]]^2}{[(1/2) \exp\{-C\} + \text{ch}(E_2(z)/T)]^4} \right\rangle_{\text{aver}} > 0, \quad (16)$$

$$\frac{T^2}{I_2^2} - \left\langle \frac{\text{ch}[E_2(z)/T]}{[(1/2) \exp\{-C\} + \text{ch}[E_2(z)/T]]^3} \right\rangle_{\text{aver}} > 0. \quad (17)$$

Неравенство (16) эквивалентно условию де Альмейда—Таулесса, полученному в двухподрешеточной модели [7] с различием, состоящим в том, что вид функции, связанной со спином 1, был другим. На границе перехода ПМ—СС аргументы под знаком гиперболических функций равны единице. Из (16), (17) следует, что граница между ПМ—СС-фазами в различных областях определяются линиями

$$d_0 = - \frac{kj^2}{8t_g} - \frac{1+d^2}{2 \sqrt{1 + \frac{j^4}{16t_g^2 - j_1^2}}} - \\ - t_g \ln \left[2 \left(\frac{1}{t_g} \sqrt{1 + \frac{j^4}{16t_g^2 - j_1^2}} - 1 \right) \right], \quad (18)$$

$$d_0 = - \frac{1+d^2}{4t_g} \left(1 \pm \sqrt{1-8t_g^2} \right) - \frac{kj^2}{8t_g} \mp 2t_g \ln \left(\frac{1 \pm \sqrt{1-8t_g^2}}{4t_g} \right), \quad (19)$$

где введены безразмерные величины

$$d_0 = \frac{D_0}{I_2}, \quad d = \frac{D}{I_2}, \quad j = \frac{J}{I_2}, \quad j_1 = \frac{I_1}{I_2}, \quad k = \sqrt{\frac{n_1}{n_2}}, \quad t_g = \frac{T_g}{I_2}.$$

Эти величины выбраны в такой форме, чтобы их было легко сравнить с соответствующими величинами, фигурирующими в модели СС со спином 1 [8, 9]. Как и в работах [8, 9], линия (18) является линией фазового перехода второго рода, а (19) — первого рода.

3. Влияние анизотропии на фазовую диаграмму

1. Прежде всего можно заметить, что при отсутствии меж- ($j=0$) и внутриподрешеточных взаимодействий первой решетки ($j_1=0$) формулы (18), (19) дают непосредственное обобщение результатов работ

[8, 9] на случай флуктуирующей ОА в однокомпонентной модели со спином 1. Из рис. 1 следует, что дисперсия ОА привела к расширению области фазы СС, особенно в сторону отрицательных значений средней

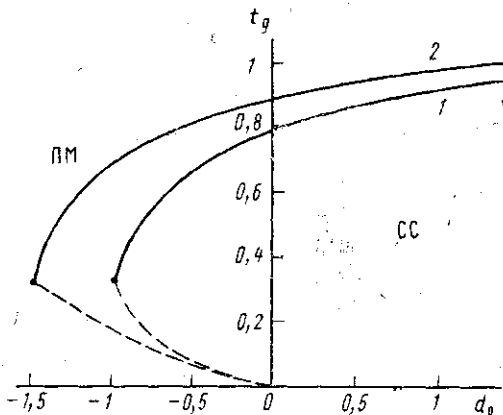


Рис. 1. Расширение области СС за счет увеличения дисперсии ОА в модели одной подрешетки при фазовых переходах первого (штриховые кривые) и второго рода (сплошные): $j=0, k=1, j_1=0, d_0=0$ (1) и 1 (2)

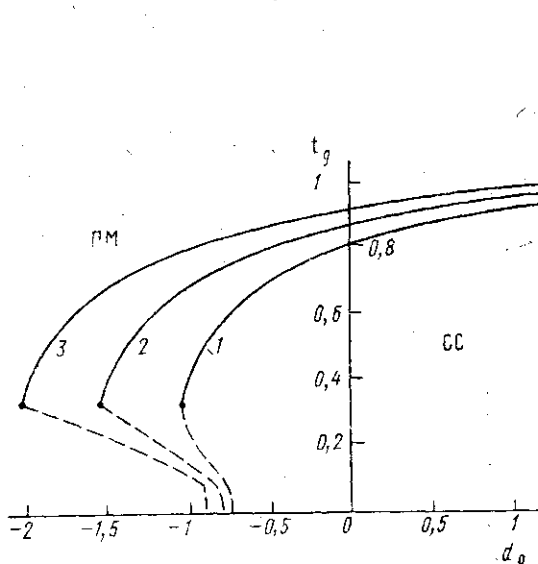


Рис. 2

Рис. 2. Расширение области СС за счет увеличения дисперсии ОА в двухподрешеточной модели: $j=0.4, j_1=0, k=1, d_0=0$ (1), 1 (2) и 1,4 (3)

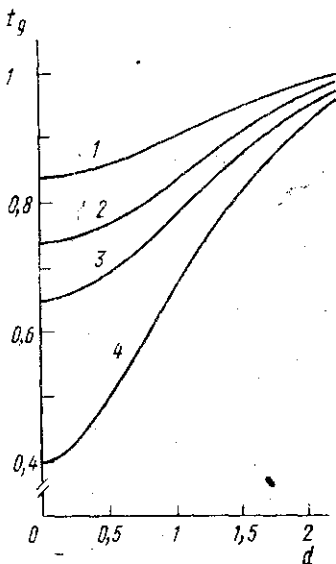


Рис. 3

Рис. 3. Зависимость t_g от дисперсии ОА: $k=1, j=0.5, j_1=0.1, d_0=0.3$ (1), -0.3 (2), -0.6 (3) и $k=1, j=0.7, j_1=0.1, d_0=-1.1$ (4)

величины ОА константы (d_0). При одном значении d_0 дисперсия приводит к возрастанию температуры замерзания t_g . Тройная точка $t_g^* = 1/3$ при увеличении d сдвигается в сторону больших по модулю и отрицательных значений d_0 .

2. В случае двух подрешеток со спином 1 и 1/2, как видно из рис. 2, также наблюдается подобный эффект расширения области фазы СС. Рост t_g по мере увеличения дисперсии ОА хорошо виден на рис. 3. Заметим, что кривая $t_g(d)$ становится более крутой при больших по модулю отрицательных значениях средней величины константы ОА: для кривых 3 и 4, при $d_0 = -0,6$ и $-1,1$, температура отличается на десятки процентов в интервале изменения d от 0 до 1. На рис. 4 изображена зависимость t_g от отношения концентрации спинов в первой (n_1) и второй подрешетках (n_2). Из характера изменения t_g в зависимости от дисперсии ОА (см. рис. 2, 3) и отношения концентрации (рис. 4) мы можем дать следующее объяснение существенного различия температуры перехода ПМ—СС для двух систем ($\text{BaFe}_{12-x}\text{Ga}_x\text{O}_{19}$, $\text{Li}_{0,5}\text{Fe}_{2,5-x}\text{Ga}_x\text{O}_4$) и возрастания t_g при уменьшении концентрации немагнитных атомов (x) в приведенных выше системах.

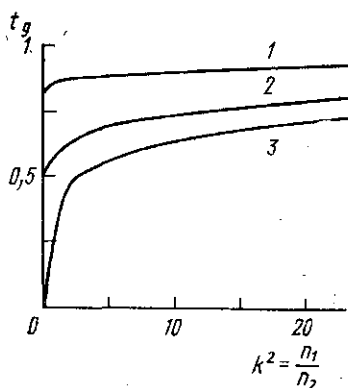


Рис. 4

Рис. 4. Зависимость t_g от отношения концентрации компонентов: $d=0$, $j=1$, $j_1=0,1$, $d_0=0,2$ (1), $-0,9$ (2) и $-1,3$ (3)

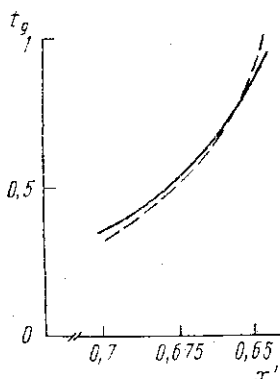


Рис. 5

Рис. 5. Диаграмма $x-t_g$ для перехода ПМ—СС: штриховая линия — экспериментальная [1], сплошная — теоретическая. Способ получения этих кривых объясняется в тексте

Хотя первая система — многоподрешеточная, а вторая — двухподрешеточная, $x-t_g$ -диаграммы их подобны; это позволяет предположить, что характерные черты обеих систем определяются не многообразием типов меж- и внутриподрешеточных взаимодействий, а скорее всего анизотропией в какой-то одной из подрешеток (в нашей теории — в подрешетке со спином 1). Температура перехода ПМ—СС системы Ga_xMn [3] больше, чем во второй системе, так как среднее значение ОА в последней (d_0) больше. Кроме этого, многоподрешеточный характер взаимодействия может увеличить и дисперсию d в Ga_xMn по сравнению со второй системой.

Поскольку t_g возрастает при уменьшении концентрации немагнитных атомов в узком интервале (в $\text{BaFe}_{12-x}\text{Ga}_x\text{O}_{19}$ этот интервал составляет несколько сотых процента магнитных атомов), отношение концентрации спинов подрешеток, возможно, изменяется незначительно, и главным фактором, определяющим концентрационную зависимость температуры замерзания, должна быть дисперсия ОА. Когда концентрация немагнитных атомов уменьшается, уменьшается и степень слу-

чайности ориентации оси анизотропии, т. е. среднее значение и дисперсия константы ОА могут увеличиться. Иными словами, можно сказать, что величины D_0 , D (или в безразмерных единицах d_0 , d) должны быть функциями от концентрации магнитных атомов. Из полученных выше результатов мы знаем (см. рис. 2), что возрастание d приводит к значительно большему росту t_g , чем аналогичное возрастание d_0 . Поэтому учтем только изменение дисперсии ОА d с изменением концентрации немагнитных атомов по эмпирическому закону

$$d = \frac{b}{a + x'}, \quad (20)$$

где x' — концентрация (в атомных процентах) немагнитных атомов, причем $n_1 + n_2 + x' = 1$; a , b — некоторые константы. На рис. 5 изображена теоретическая кривая (сплошная линия), при построении которой использовалась формула (20) с коэффициентами $a = -0,633$, $b = 0,333$ и параметрами $d_0 = -1,1$, $k = 0,33$, $j = 0,4$, $j_1 = 0,1$. Экспериментальная кривая (штриховая линия) взята из работы [1], максимальная наблюдаемая температура перехода ПМ—СС (~ 105 К) принята за единицу. Из рис. 5 ясно видно хорошее согласие результатов расчета и эксперимента.

ЛИТЕРАТУРА

- [1] Ефимова М. Н., Ткаченко Н. В., Божовой И. И. // ФТТ. 1989. 31, № 6. С. 254. [2] Ефимова М. Н., Попков Ю. А., Ткаченко М. В. // ЖЭТФ. 1986. 90, № 4. С. 1413. [3] Ведяев А. В., Козлова Т. М., Прудников В. Н. и др. // Тез. докл. II Всесоюз. семинара «Магнитные фазовые переходы и критические явления». Махачкала, 1989. С. 138. [4] Cragg D. M., Sherrington D. // Phys. Rev. Lett. 1982. 49. P. 1190. [5] Roberts S. A., Bray A. J. // J. Phys. C. 1982. 15. P. L527. [6] Коренблит И. Я., Шендер Е. Ф. // ЖЭТФ. 1987. 93, № 3. С. 1060. [7] Коренблит И. Я., Федоров Я. В., Хоанг Зунг. Препринт № 1559 Ленинградского института ядерной физики, декабрь 1989. [8] Ghatak S. K., Sherrington D. // J. Phys. C. 1977. 10. P. 3149. [9] Lage E. J. S., De Almeida // J. Phys. C. 1982. 15. P. L1187. [10] Коренблит И. Я., Шендер Е. Ф. // ЖЭТФ. 1985. 89, № 5(11). С. 1785.

Поступила в редакцию
15.11.90